

Analyse de stabilité d'un modèle de type Contours Actifs d'Ordre Supérieur

CNES Réunion ORFEO Méthodo
10 - 11 Janvier 2008, Paris

Ariana

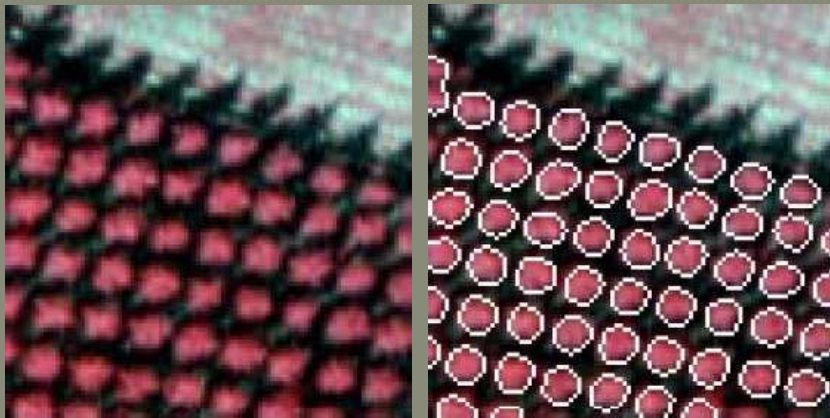
Aymen EL GHOUL
Peter HORVATH
Ian JERMYN
Marie ROCHERY
Josiane ZERUBIA



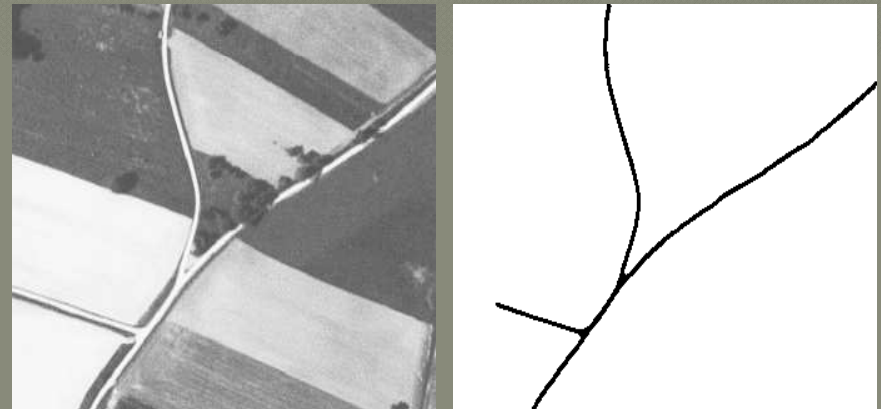
Motivations

- But : détection d'**objets** dans des images
- **Modélisation** mathématique
- Modèle sophistiqué pour la détection de **routes** et d'**arbres**

© IFN



© IGN



Modélisation de Région / Forme

● Formulation **probabiliste** :

- R : région (route, arbre, rivière...)
- Estimateur MAP : $\hat{R} = \arg \max P(R|I, K)$
- Théorème de Bayes : $\hat{R} = \arg \max_R P(I|R, K)P(R|K)$
- $P(.) = \frac{1}{Z} e^{-E(.)}$
- Minimisation d'une fonctionnelle : $\hat{R} = \arg \min_R \{E(R)\}$

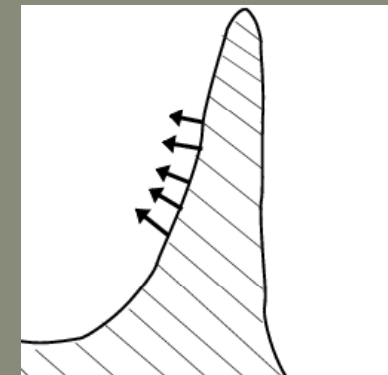
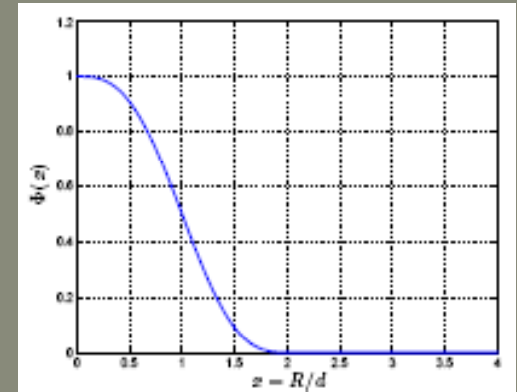
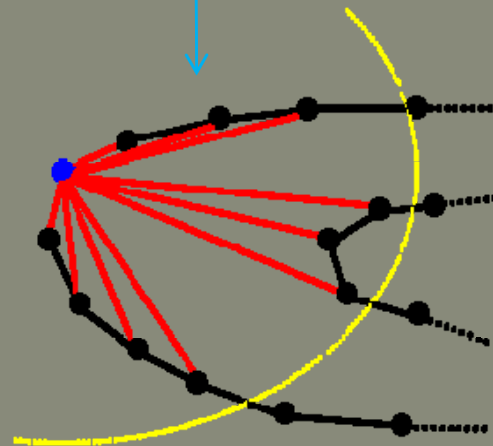
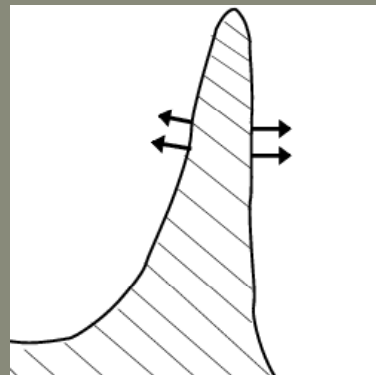
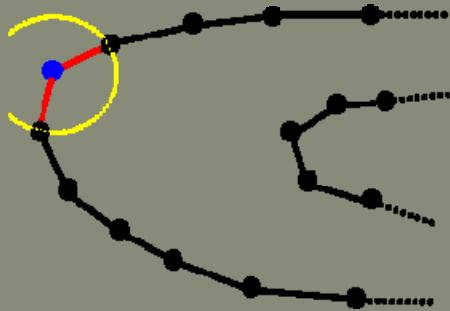
$$E(R) = E_{image}(R) + E_{interne}(R)$$

Le modèle des **CAOS**, [Rochery et al. 05, 06]

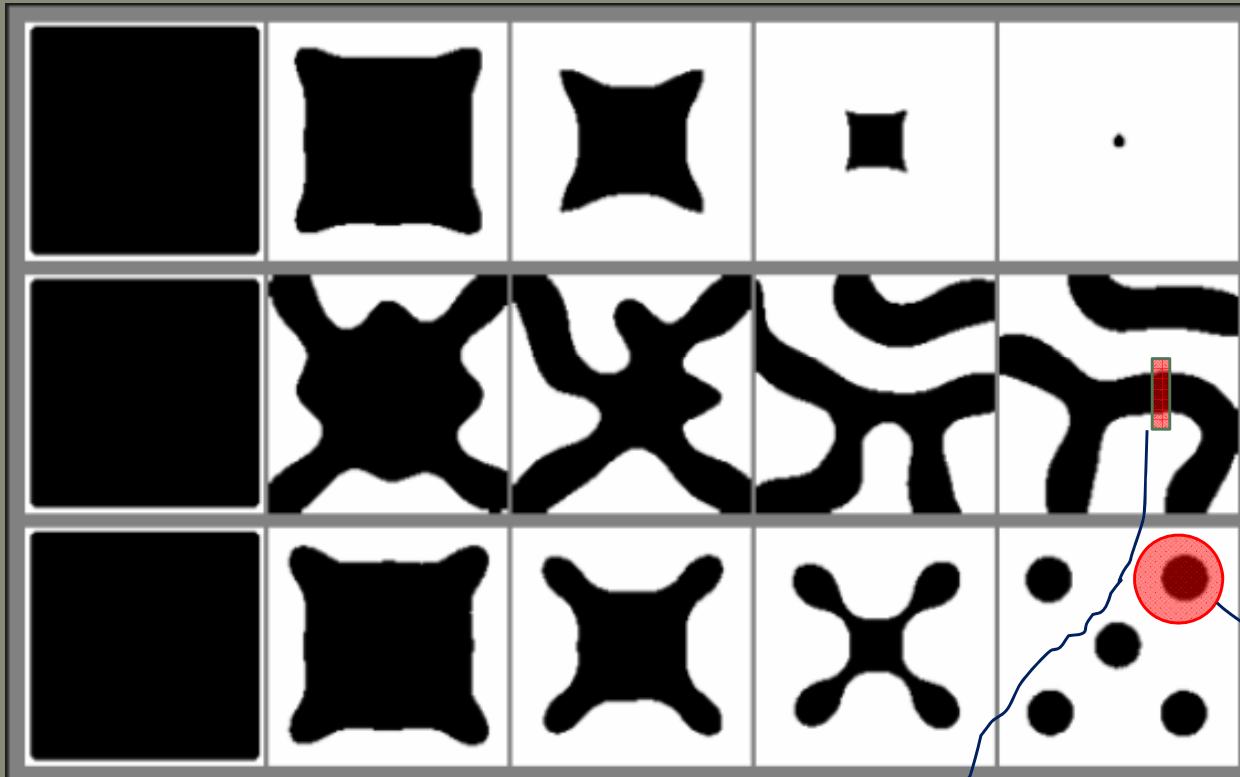
$$E_g(\gamma) = \underbrace{\lambda_c L(\gamma) + \alpha_c A(\gamma)}_{\text{Snakes, Kass et al. 88}} - \frac{\beta_c}{2} \iint dt dt' \dot{\gamma}(t) \cdot \dot{\gamma}(t') \Phi\left(\frac{|\gamma(t) - \gamma(t')|}{d}\right)$$

Snakes, Kass et al. 88

où $\gamma : S^1 \rightarrow \mathbb{R}^2$, bord de R et l'allure de Φ est donnée par :



Problématique



Analyse d'une
barre longue.



Analyse d'un cercle.



- Le modèle possède 4 paramètres : λ_C , α_C , β_C , et d
- E_g : modèle géométrique sophistiqué pour l'extraction aussi bien des réseaux routiers que des arbres
- Problème : quelles valeurs des paramètres permettant d'avoir aussi bien de structures linéiques que circulaires
- Solution : analyse de stabilité d'un cercle et d'une barre

Analyse de **stabilité**

- Sans perte de généralité : $\lambda_C = d = 1$
 - E_g dépend seulement de α_C et β_C
- Analyse de stabilité (développement en série de Taylor jusqu'à l'ordre 2) :

$$E_g(\gamma) = E_g(\gamma_0 + \delta\gamma) \cong E_g(\gamma_0) + \left\langle \delta\gamma \left| \frac{\delta E_g}{\delta\gamma} \right|_{\gamma_0} \right\rangle + \left\langle \delta\gamma \left| \frac{\delta^2 E_g}{\delta^2 \gamma} \right|_{\gamma_0} \right\rangle$$

cercle barre
Energie de γ_0
Terme de 1^{er} ordre
Terme de 2^{er} ordre

$$E_g \text{ admet un } \mathbf{minimum} \ \gamma_0 \iff \left. \frac{\delta E_g}{\delta\gamma} \right|_{\gamma_0} = 0 \text{ et } \left. \frac{\delta^2 E_g}{\delta^2 \gamma} \right|_{\gamma_0} \mathbf{d\u00e9finie positive}$$

Analyse de stabilité pour un **cercle**

• γ_0 : cercle de rayon r_0

• Perturbations $\delta\gamma$:

- $\gamma(t) = \gamma_0 + \delta\gamma(t) = (r(t), \theta(t)) = (r_0 + \delta r(t), \theta_0 + \delta\theta(t))$

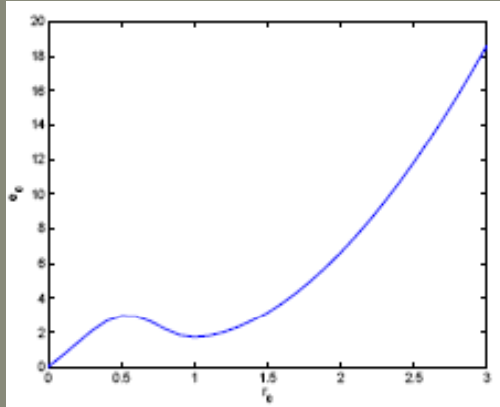
- $\delta\theta(t) = 0$: variation tangentiel ne change pas la forme

- $$\delta r(t) = \sum_k a_k e^{ir_0 kt}, \quad k = \frac{m}{r_0}, m \in \mathbb{Z}$$

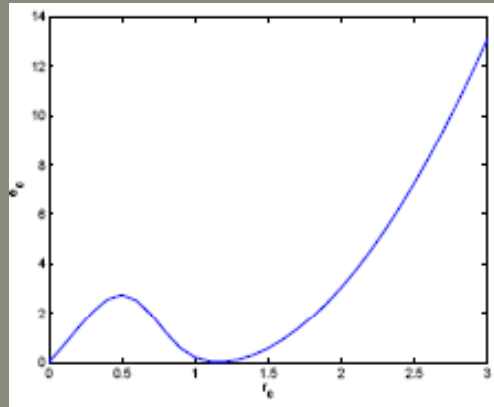
- La base de Fourier diagonalise $\left. \frac{\delta^2 E_g}{\delta^2 \gamma} \right|_{\gamma_0}$ puisque $E_g = f(t - t')$

$$E_g(\gamma) \cong e_0(r_0) + a_0 e_1(r_0) + \frac{1}{2} \sum_k |a_k|^2 e_2(r_0, k)$$

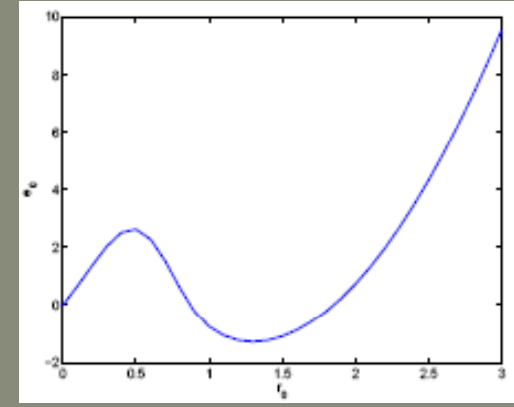
Energie d'un **cercle**, $e_0(r_0)$



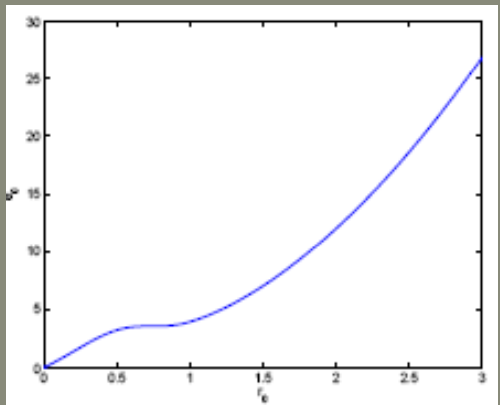
$$\alpha_C = 1, \beta_C = 1.54$$



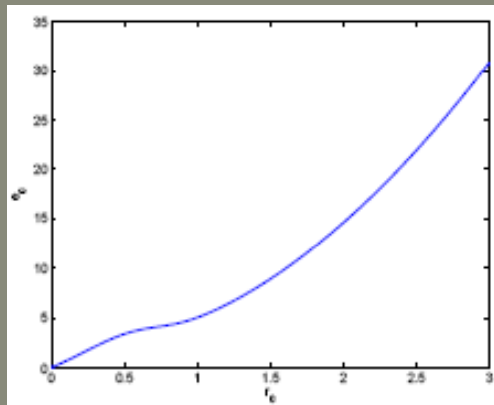
$$\alpha_C = 1, \beta_C = 1.84$$



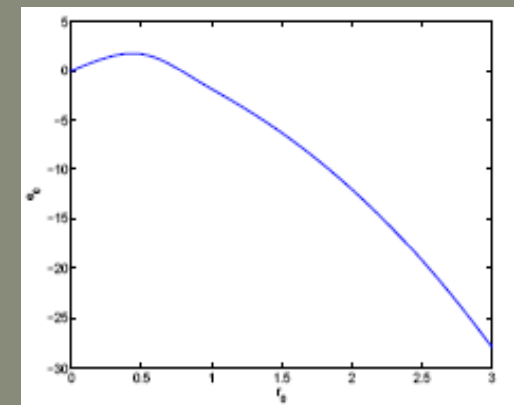
$$\alpha_C = 1, \beta_C = 2.03$$



$$\alpha_C = 1, \beta_C = 1.10$$



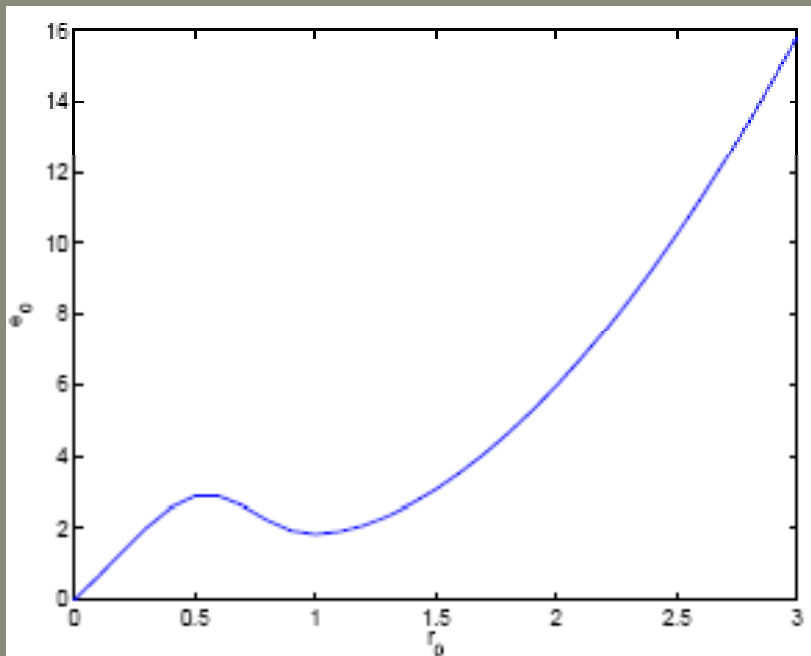
$$\alpha_C = 1, \beta_C = 0.88$$



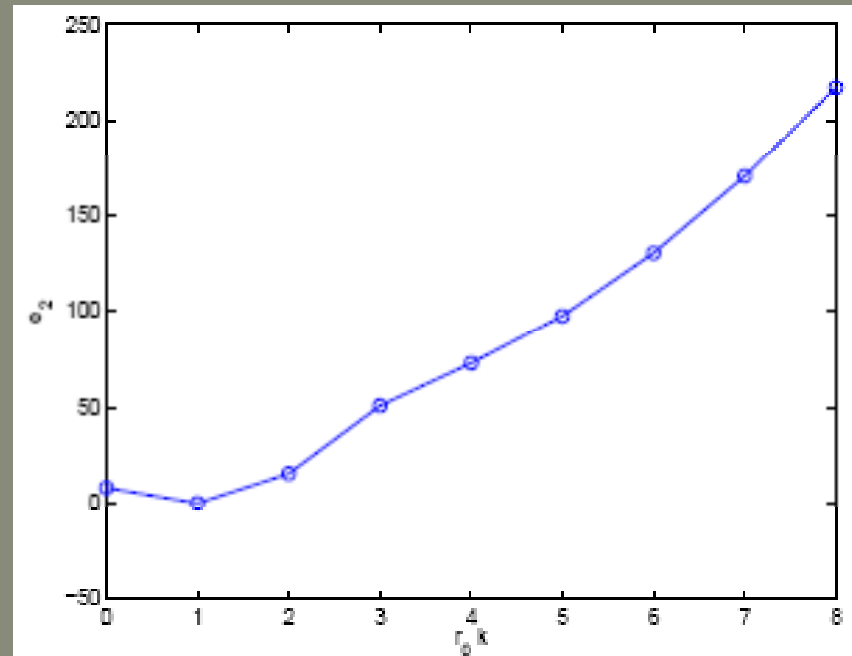
$$\alpha_C = -1, \beta_C = 1$$

Conditions de stabilité d'un **cercle**

$$\left\{ \begin{array}{l} e_1(\alpha_C, \beta_C, r_0) = 0 \Leftrightarrow \beta_C(\alpha_C, r_0) = \frac{1 + \alpha_C r_0}{G_{10}(r_0)} \quad (\text{extremum}) \\ e_2(\alpha_C, \beta_C, r_0, k) > 0, \quad \forall k \quad (\text{minimum}) \end{array} \right.$$

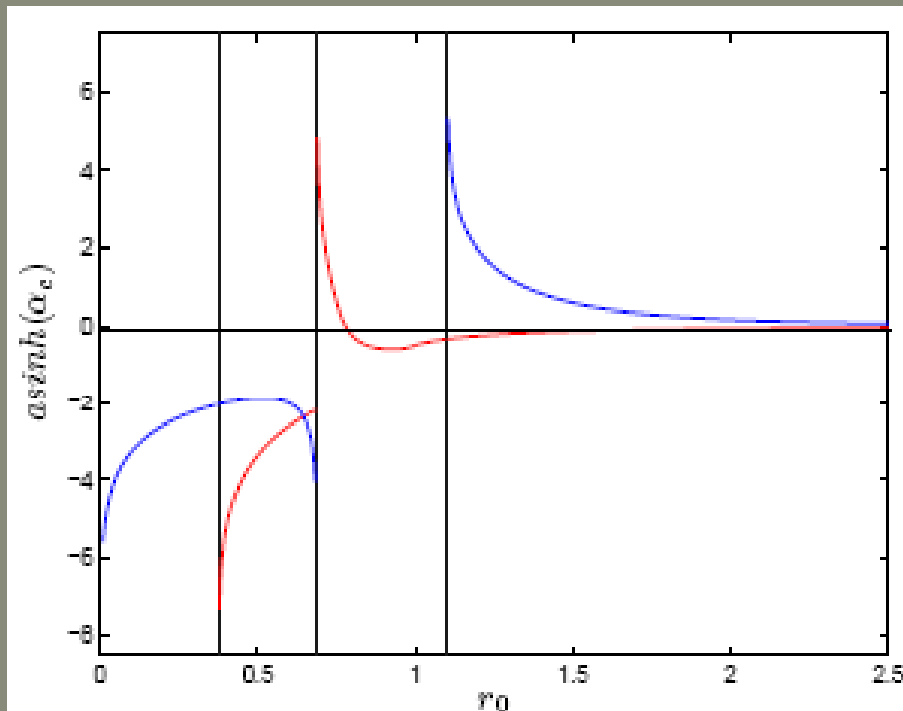


$$\alpha_C = 1, r_0^* = 1$$

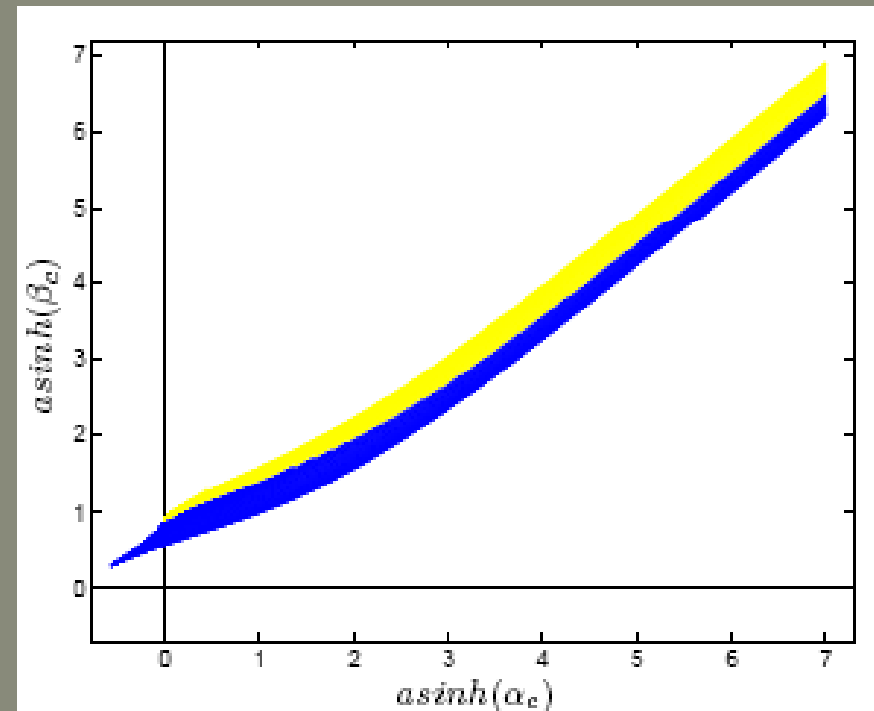


$$e_2(\alpha_C, r_0^*, k) > 0, \quad \forall k$$

Diagramme de phase d'un **cercle**



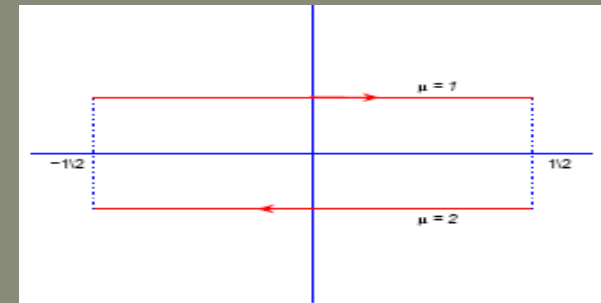
Les limites du paramètre α_c



$0.69 < r_0 < +\infty$

Analyse de stabilité d'une barre longue

- γ_0 : barre de longueur l et de largeur w_0 tq $w_0 \ll l$



- Perturbations $\delta\gamma$:

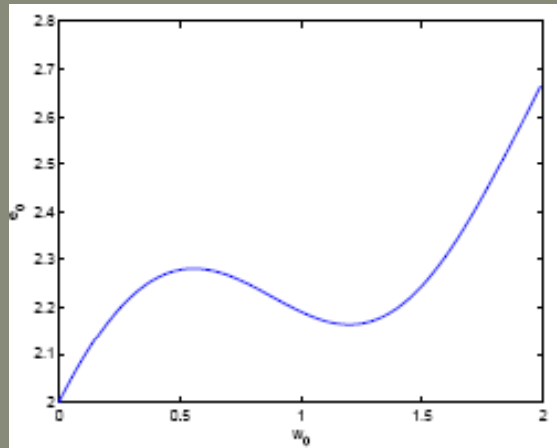
- $\delta\gamma_\mu(t_\mu) = (\delta x_\mu(t_\mu), \delta y_\mu(t_\mu))$
- $\delta x_\mu(t) = 0$: variation tangentielle ne change pas la forme

$$\delta y_\mu(t_\mu) = \sum_{k_\mu} a_{\mu, k_\mu} e^{ik_\mu t_\mu}, \quad k_\mu = \frac{2\pi m_\mu}{l}, \quad m_\mu \in \mathbb{Z}$$

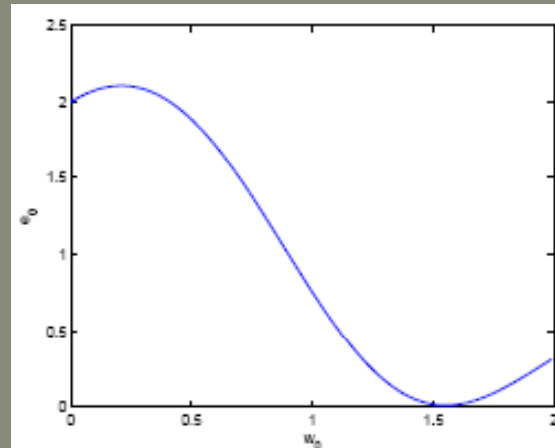
- La base de Fourier diagonalise $\left. \frac{\delta^2 E_g}{\delta^2 \gamma} \right|_{\gamma_0}$ puisque $E_g = f(t-t')$

$$\frac{E_g(\gamma)}{l} = e_0(w_0) + [a_{1,0} - a_{2,0}]e_1(w_0) + \frac{1}{2} \sum_k a_k^* e_2 a_k^t \quad \text{avec} \quad \begin{cases} a_k = (a_{1,k}^*, a_{2,k}) \\ e_2 = \begin{pmatrix} e_{20} & e_{21} \\ e_{21} & e_{20} \end{pmatrix} \end{cases}$$

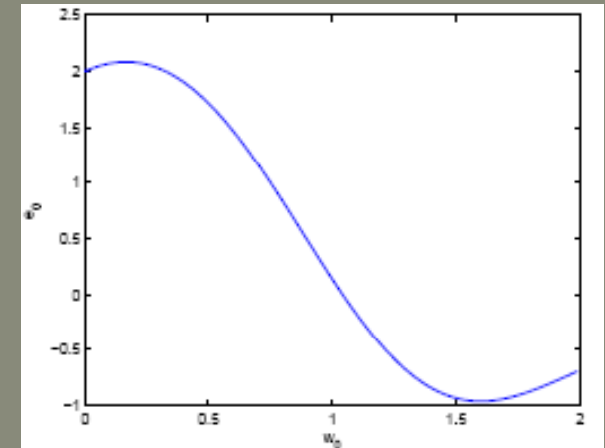
Energie d'une **barre longue**, $e_0(w_0)$



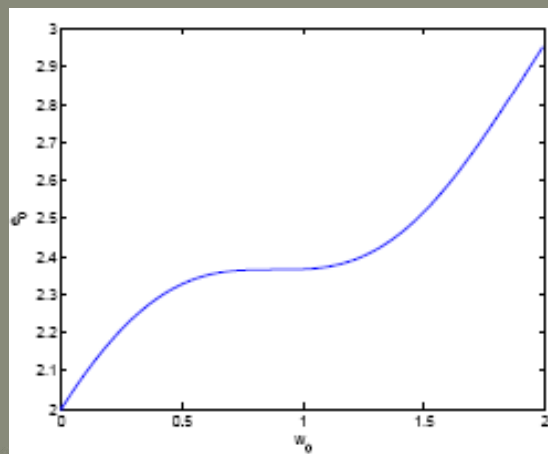
$$\alpha_c = 1, \beta_c = 0.66$$



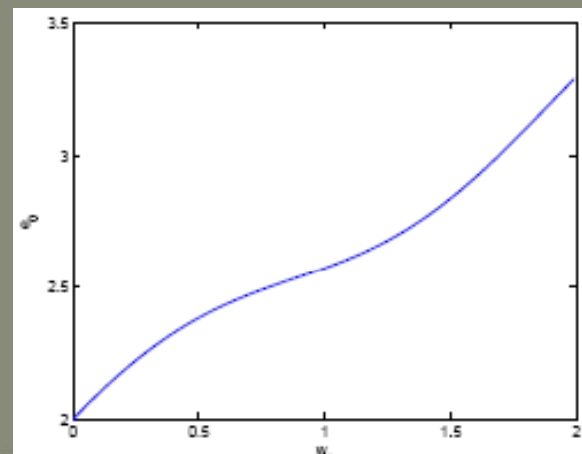
$$\alpha_c = 1, \beta_c = 1.84$$



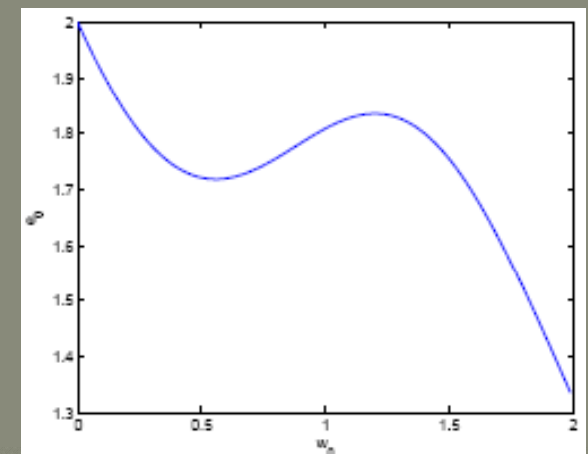
$$\alpha_c = 1, \beta_c = 2.47$$



$$\alpha_c = 1, \beta_c = 0.52$$



$$\alpha_c = 1, \beta_c = 0.35$$

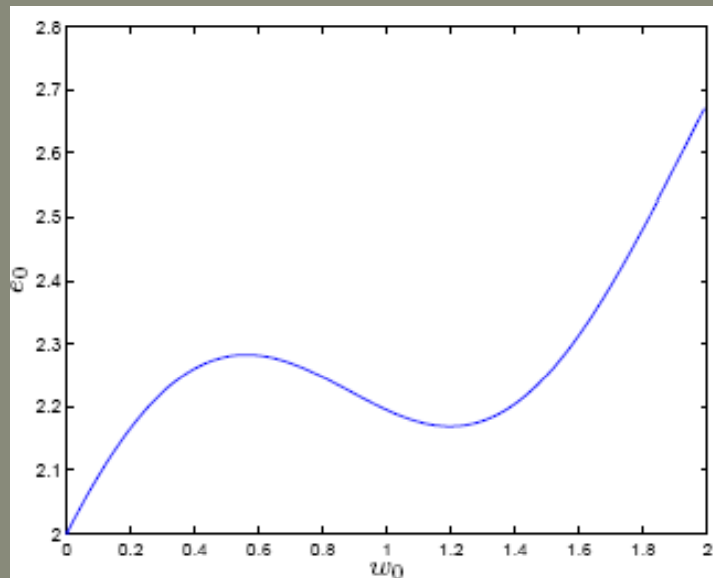


$$\alpha_c = -1, \beta_c = -0.66$$

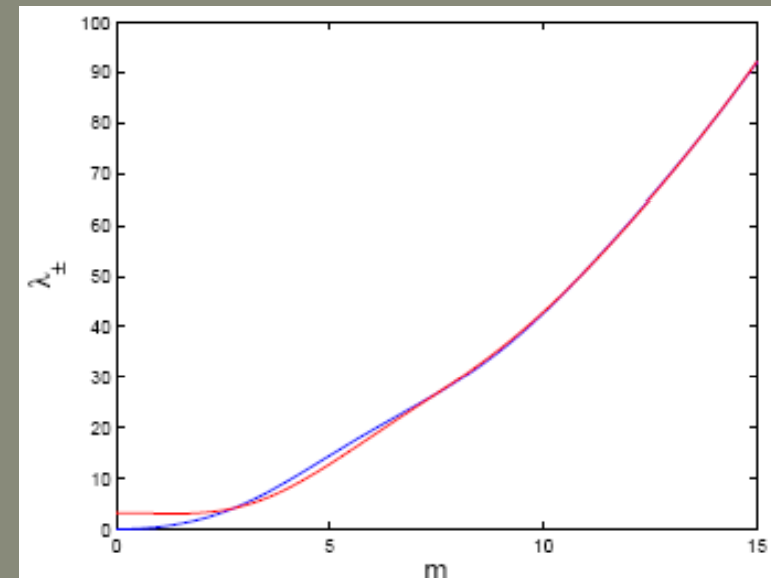
Conditions de stabilité d'une **barre longue**

$$\left\{ \begin{array}{l} e_1(\alpha_C, \beta_C, w_0) = 0 \Leftrightarrow \beta_C(\alpha_C, w_0) = \frac{\alpha_C}{G_{10}(w_0)} \quad (\text{extremum}) \\ e_2 \text{ définie positive} \Leftrightarrow \lambda_{\pm}(\alpha_C, \beta_C, w_0, k) > 0, \quad \forall k \quad (\text{minimum}) \end{array} \right.$$

avec $\lambda_{\pm} = e_{20} \pm e_{21}$: valeurs propres de e_2

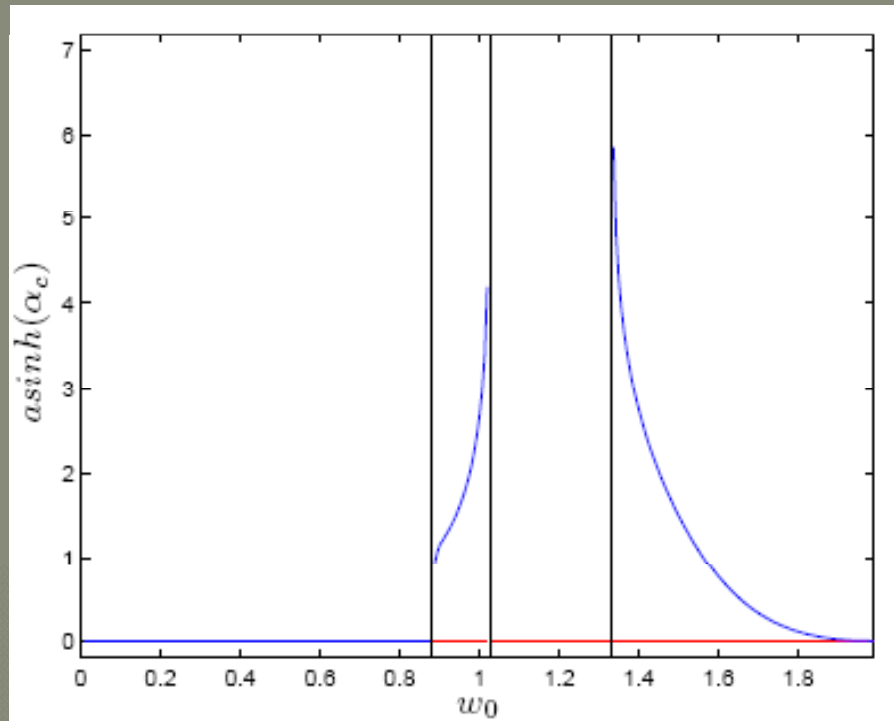


$$\alpha_C = 1, w_0^* = 1.2$$

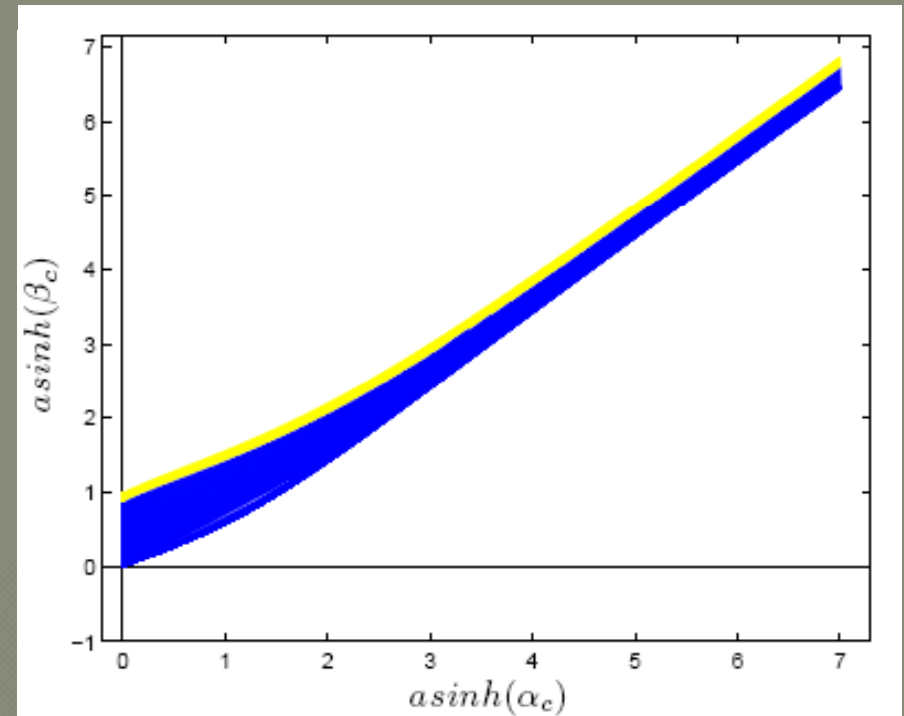


$$\lambda_{\pm}(\alpha_C, w_0^*, k) > 0, \quad \forall k$$

Diagramme de phase d'une **barre longue**



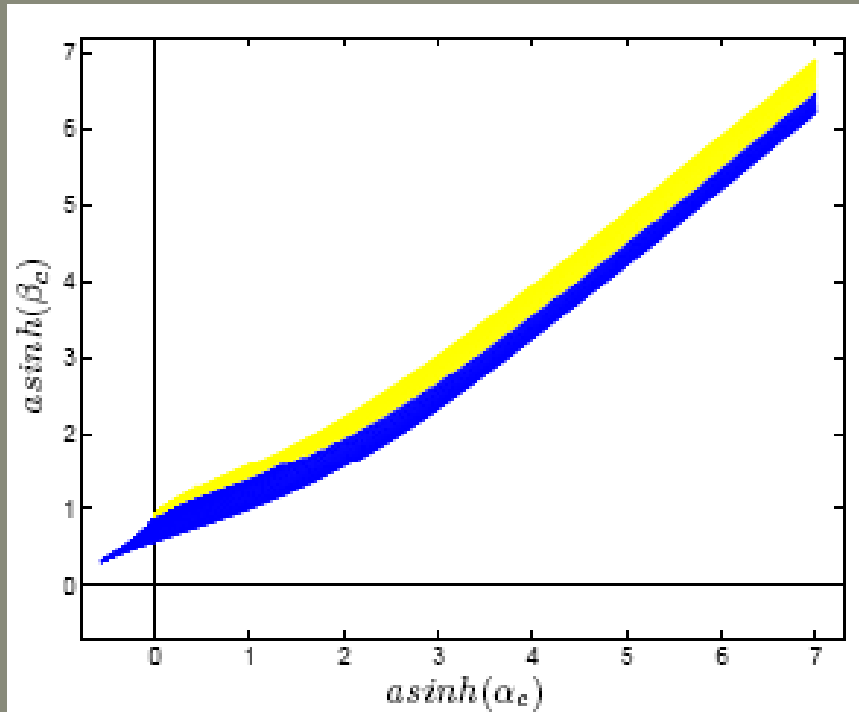
Les limites du paramètre α_c



$0.88 < w_0 < 2$

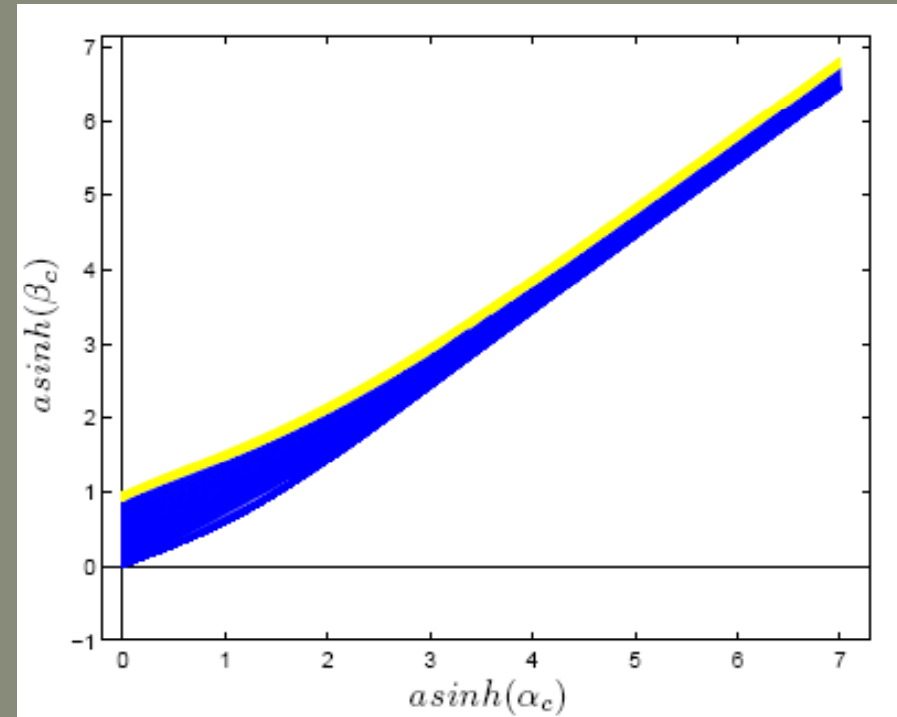
Diagramme de phase d'un modèle de type CAOS

Cercle



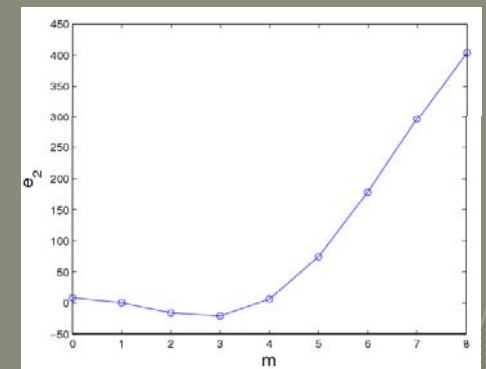
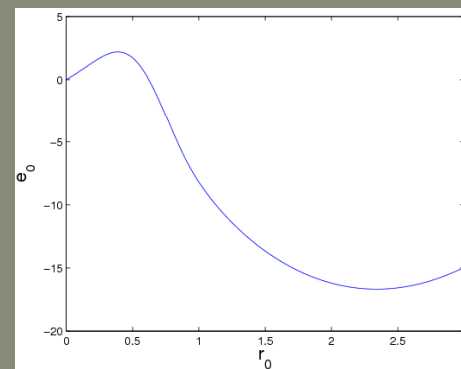
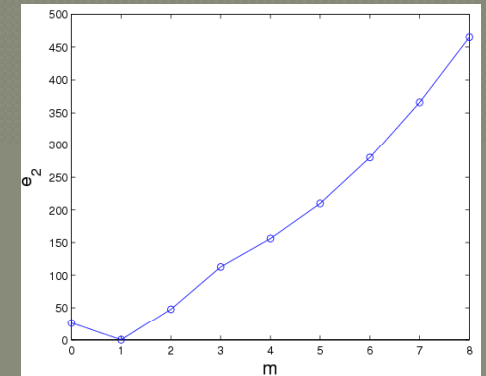
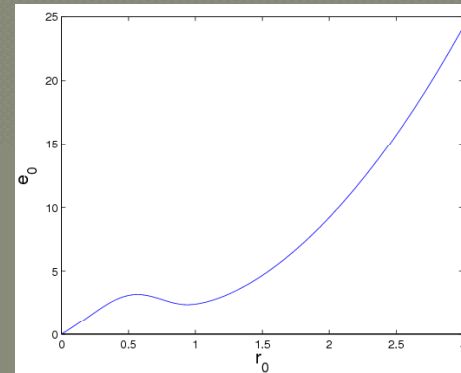
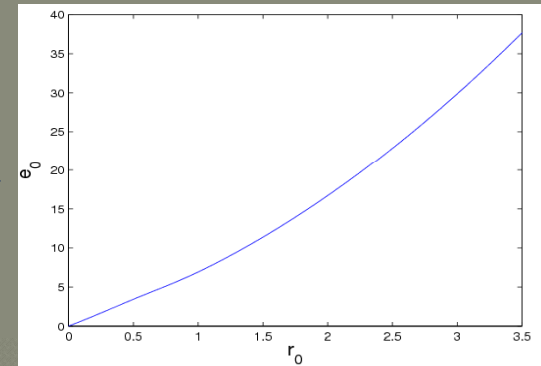
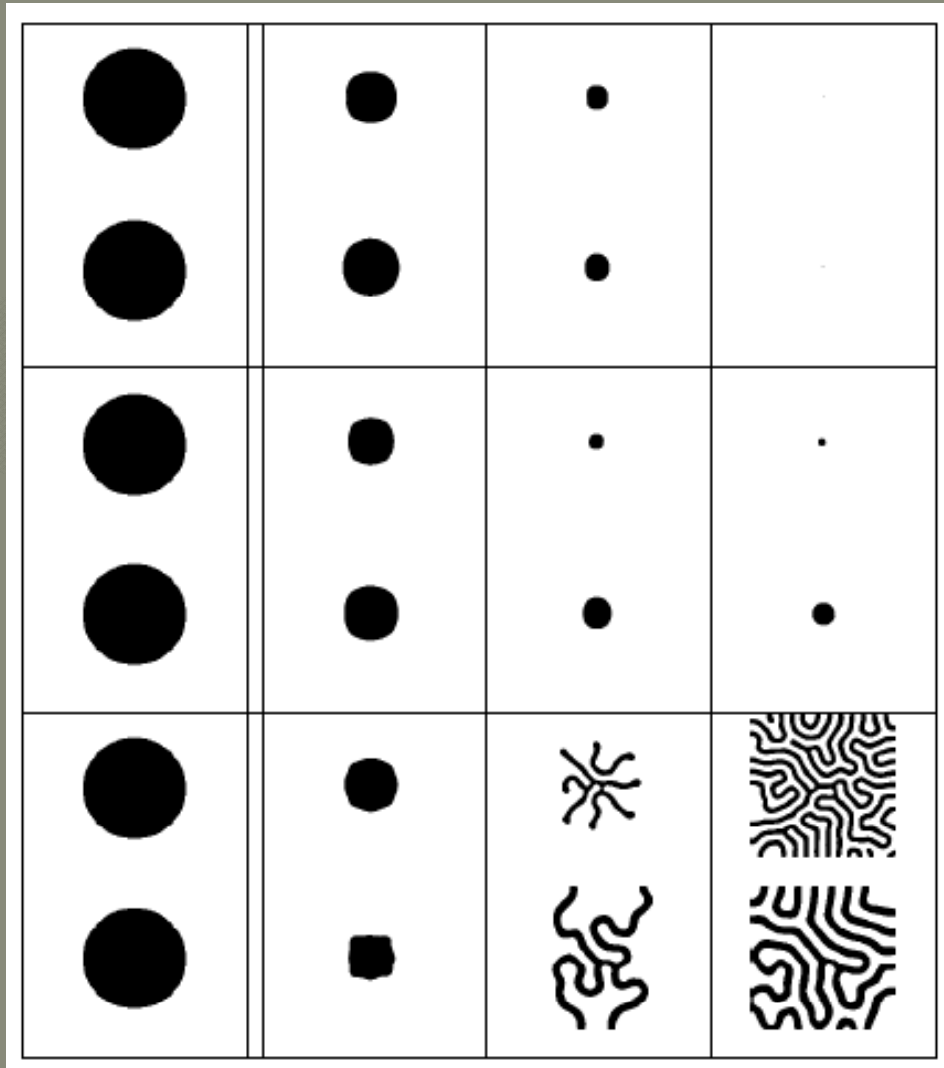
$$0.69 < r_0 < +\infty$$

barre longue

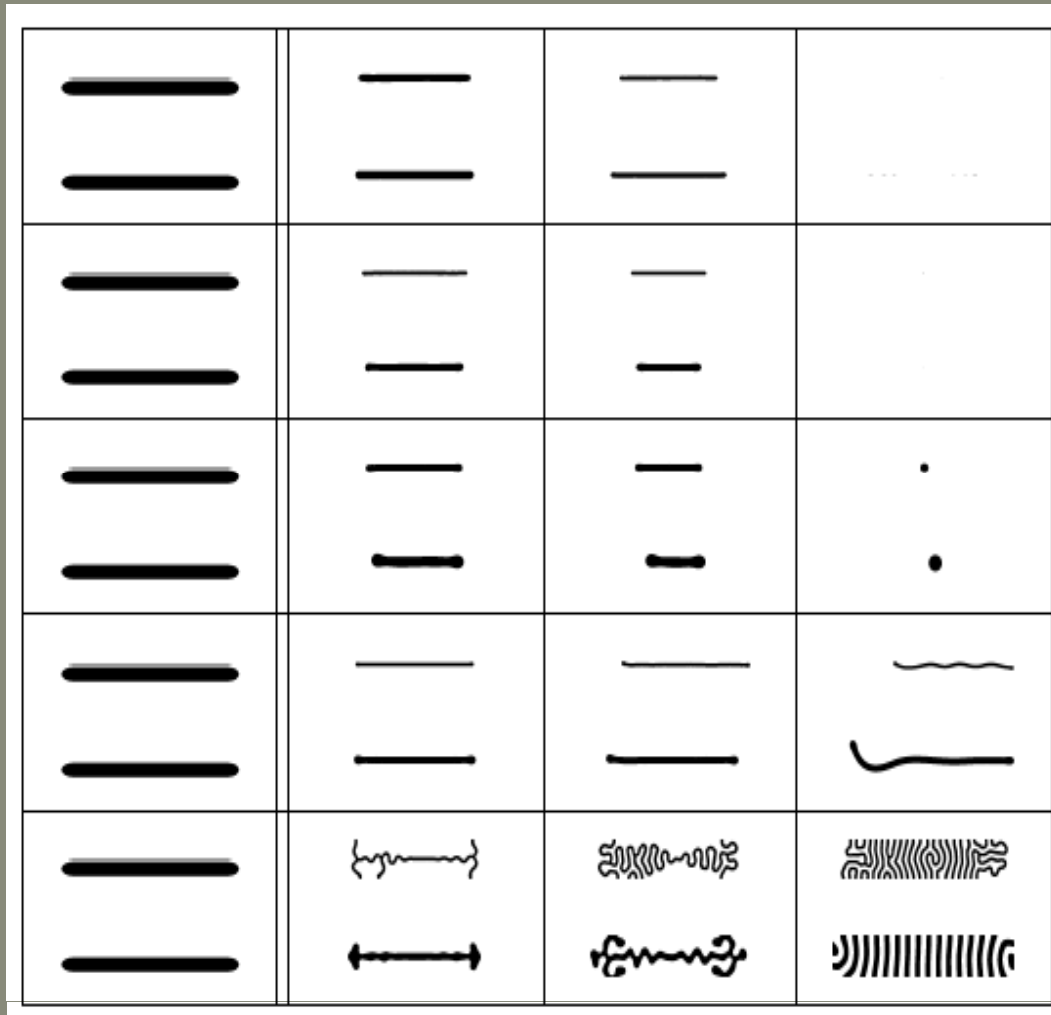


$$0.88 < w_0 < 2$$

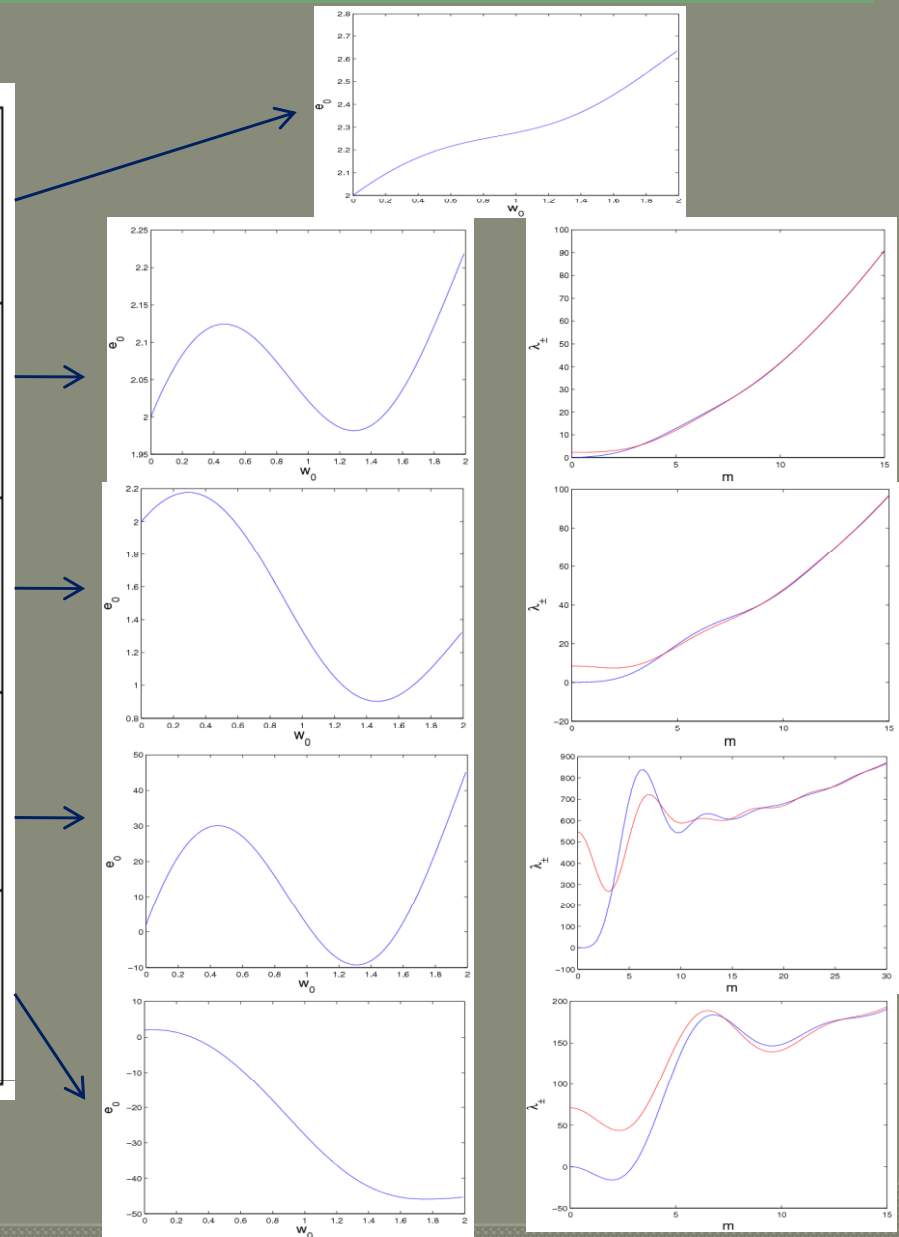
Evolution géométrique d'un cercle par descente de gradient



Evolution géométrique d'une barre par descente de gradient



$$E_g(\gamma) \cong le_g(\gamma)$$



Conclusion et perspectives

● Conclusion

- Analyse de stabilité d'un **cercle** pour l'extraction des arbres
- Analyse de stabilité d'une **barre longue** pour l'extraction des réseaux routiers

● Perspectives

- Diagramme de phase d'énergies de type CAOS **anisotropes**
- Application à l'extraction de **réseaux fluviaux**.

Références bibliographiques

- Site web de l'équipe-projet **ARIANA** : www-sop.inria.fr/ariana/index.php
- A. El Ghouli, I. Jermyn et J. Zerubia. **Diagramme de phase d'une énergie de type contours actifs d'ordre supérieur : le cas d'une barre longue**. *Reconnaissance des Formes et Intelligence Artificielle, Amiens, Janvier 2008*.
- M. Rochery. **Contours actifs d'ordre supérieur et leur application à la détection de linéiques dans des images de télédétection**. *Thèse de doctorat, Septembre 2005*.
- M. Rochery, I. H. Jermyn and J. Zerubia. **Higher Order Active Contours**. *International Journal of Computer Vision*, 69(1): pages 27--42, August, 2006.
- P. Horvath. **The 'Gas of circles' model and its application to tree crown extraction**. *Phd thesis, december 2007*.
- P. Horvath, I. H. Jermyn, Z. Kato and J. Zerubia. **A Higher-Order Active Contour Model for Tree Detection**. In *Proc. International Conference on Pattern Recognition (ICPR)*, Hong Kong, August 2006.